

神戸大学工学部 正会員 道奥 康治
 Univ. Karlsruhe Erich PLATE
 Univ. Karlsruhe Rolf KAISER
 Univ. Karlsruhe Matthias RAU

1. はじめに：晴天時の大気に発達する対流境界層 (Convective Boundary Layer, CBL) は、図-1 のように、(1) Thermal Plume が発生する表層 (SL), (2) 乱流が卓越する混合層 (ML), (3) 安定な温度勾配によって乱流運動が抑制され、連行が生ずる連行領域 (EZ), からなる。Karlsruhe 大学水文資源研究室(IHW)では、CBL を再現するために、新型成層流風洞を開発した¹⁾。本報では、長時間平均流れの構造の検討に引き続き²⁾、短時間平均の乱流過程を VITA 法により抽出し、風洞の基本性能を検証する。

2. 成層流風洞の仕様¹⁾：IHW の成層流風洞は、図-2 のように閉鎖循環型構造を有し、短い助走距離と少ない電力で、最大 200°C の温度差をともなう高温成層を再現できる。鉛直 10 層に分かれた風洞上段の循環部で、所定の温度・風速分布が整形され、下段の計測区間（長さ 10m × 幅 1.5m × 高さ 1.5m）で、LDV と抵抗線式温度計を用いて、風速と温度が計測される。風上端から $x=3.98, 5.63, 7.28$ m の各計測断面 (Windows-3, 4, 5) における逆転層高さは各々 $z_l=0.3, 0.325, 0.375$ m であった。

3. VITA 法 (Variable Interval Time Averaging) : Thermal Plume の秩序構造を抽出するために、温度変動 T' を検出信号として VITA 法を用いる。 T' が二つの条件、

$$V_{T'}(t) > k, \quad (1), \quad dT'/dt < 0 \quad (2),$$

を満足する時、事象が抽出される。式(1)は、ある程度大きな変動の抽出、式(2)は温度低下時の事象の抽出に相当し、二つの検出条件によって、Plume の風上側界面 (Microfront) を捉えることをねらっている。ここで、 $V_{T'}(t)$ は、時間スケール t_* のもとで移動平均された短時間平均事象の温度分散値 $\frac{T}{\sigma_T}$ と長時間平均分散 σ_T^2 の比 $V_T(t)=\text{var}(T')/\sigma_T^2$ である。種々の検討に基づき、本研究では、閾値 $k=0.4$ 、短時間平均時間スケール $t_*=0.1\text{sec}$ を採用する。

4. 条件付き平均化された時系列：図-3 は $z=0.025\text{m}$ の表層、ならびに $z=0.35\text{m}$ の連行層における、温度 T' と風速二成分 (u' , w') の条件付き平均時系列である。表層においては、Plume の Microfront 通過時に相当する $t'=0$ を境に、前半 ($t' < 0$) で正の大きな

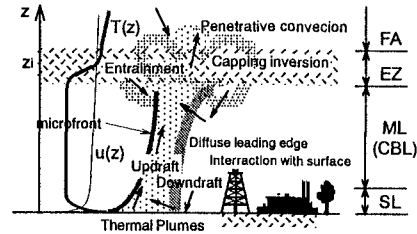


図-1 対流境界層 (CBL) の模式図

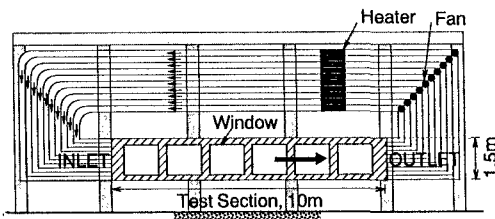


図-2 成層流風洞の設計概念図

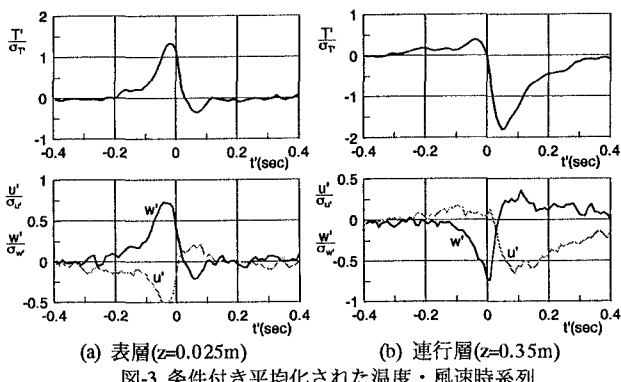


図-3 条件付き平均化された温度・風速時系列

キーワード：大気成層、対流境界層、成層せん断乱流、密度流、風洞実験

連絡先 (〒657 神戸市灘区六甲台町 1-1, 神戸大学工学部建設学科, TEL(078)803-1044, FAX(078)803-1050)

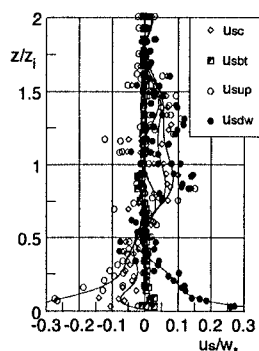
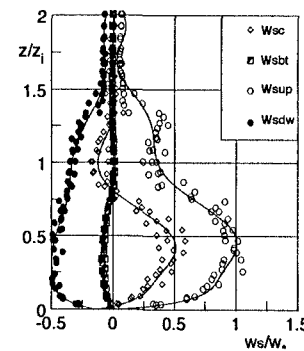
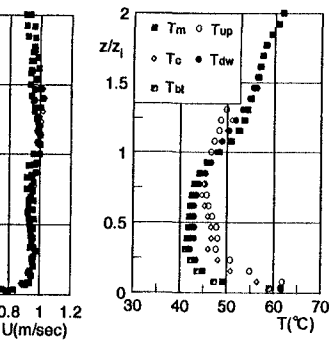
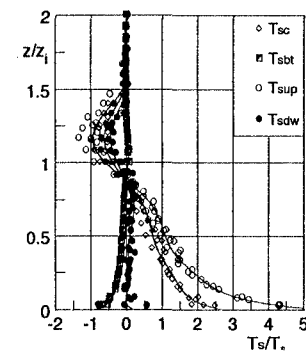
温度ピークと低速($u'<0$)上昇流($w'>0$)が、後半($t'>0$)で負の小さな温度ピークと高速($w'>0$)下降流($w'<0$)が見られる。温度変化より、計測プローブは、 $t'<0$ においてPlumeの内に、 $t'>0$ において外に、各々位置している。よって、Plume内では強い高温上昇流(warm updraft)が、Plume外では弱い低温下降流(cold downdraft)が卓越すると推定できる。図-3(b)の連行層においては、なだらかに変化する高温下降流(warm downdraft)の後、鋭い低温ピークを伴う上昇流(cold updraft)が続いている。前者は自由大気層から混合層への連行加入に、後者は混合層から連行領域へ貫入する Penetrative Convection に、各々対応する。

5. 条件付き平均された諸量の鉛直分布：図-4 は平均風速 U について、長時間平均値 U_m 、秩序構造の平均値 U_c 、抽出から漏れた背景乱流の平均値 U_{bt} の鉛直分布をあらわす。壁面せん断層を除き、いずれの事象平均値もほぼ同様の一様な分布である。図-5 は平均温度分布である。ここでは、秩序構造の事象をさらに、上昇流成分($w'>0$) T_{up} と下降流成分($w'<0$) T_{dw} に分類している。秩序構造全体の平均温度 T_c やびその上昇流成分 T_{up} は、表層から混合層内において長時間平均温度 T_m より高温であり、連行領域においては低温である。これに対し、背景乱流成分と秩序構造の下降流成分、 T_{bt}, T_{dw} は T_m と同程度である。図-6,7 は平均風速 U_m からの偏差 ($u_s w_s$) を示す。抽出事象の水平風速 u_s は表層で低速、連行領域で高速であるのに対し、背景乱流の風速 u_{bt} はほぼ 0 である。また、表層においても連行領域においても、上昇時には水平風速が低速($u_{sup}<0$)で、下降時には高速($u_{sdw}>0$)であり、正の Reynolds 応力 $\bar{u}'\bar{w}'$ を生む原因となっている。抽出事象の鉛直風速 w_s は $0 < z/z_i < 0.8$ において正で、 $0.8 < z/z_i < 1.2$ の連行領域では負である。すなわち、Thermal Plume の運動は混合層内で上昇流、連行領域で下降流が主体になっている。図-8 は温度偏差 T_s をあらわす。底面近くにおいて、抽出事象の温度偏差 T_{sc} は大きな正の値をとり、背景乱流は小さな負の温度偏差($T_{bt}<0$)を呈する。連行領域では、抽出事象が負の温度偏差である($T_{sc}<0$)のに対し、背景乱流の温度偏差 T_{bt} はほぼ 0 である。図-7,8 より、①混合層内では、Plume が強い高温上昇流を形成し、Plume 外部では弱い低温下降流が支配的である、②連行領域では、顕著な熱輸送は主に Thermal Plume の低温上昇流 – Penetrative Convection – により生ずる、ことなどがわかる。

6. まとめ：VITA 法で抽出された秩序構造は、これまで現地観測などによって断片的観測されてきた CBL の特徴と類似し、成層風洞によって大気と相似な対流が再現されているようである。

参考文献

- 1) Rau, M. and Plate, E.: *Wind Climate in Cities*, Kluwer, pp.431-456, 1995.
- 2) Fedorovich, E., Kaiser, R., Rau, M. and Plate, E.: *J. Atmos. Sci.*, Vol.53, pp.1273-1289, 1996.

図-6 水平風速偏差 u_s/w_s の分布図-7 鉛直風速偏差 w_s/w_s の分布図-5 平均温度 T の分布図-8 温度偏差 T_s/T の分布